

## پنهانی و تحلیل فضایی مخاطرات بالقوه محیطی مطالعه موردنی: بخش سیلوانا

علی محمد خورشید دوست؛ استاد آب و هواشناسی، گروه آب و هواشناسی، دانشکده برنامه ریزی و علوم محیطی،  
دانشگاه تبریز، ایران.

سعید فتحی<sup>۱</sup>؛ دانشجوی کارشناسی ارشد سنجش از دور و GIS، گروه سنجش از دور و GIS، دانشکده برنامه ریزی و  
علوم محیطی، دانشگاه تبریز، ایران.

پذیرش نهایی: ۱۳۹۸/۰۸/۰۴

دریافت مقاله: ۱۳۹۷/۱۲/۰۱

### چکیده

امروزه با توجه به رشد روزافزون جمعیت، جایه جایی آن و قرار گرفتن تعداد بیشتری از جمعیت در معرض انواع بلایا، ضرورت شناسایی مخاطرات بالقوه محیطی و تعیین پنهانی‌های مخاطره‌آمیز در مناطق مختلف بیش از بیش احساس می‌شود. با شناخت و ارزیابی مخاطرات هر منطقه قبل از وقوع آنها می‌توان به طور قابل توجهی از میزان خسارت‌ها کاسته و به توسعه پایدار منطقه‌ای دست یافت. بر همین اساس در پژوهش حاضر به تحلیل مخاطرات بالقوه محیطی در بخش سیلوانا شهرستان ارومیه با تأکید بر سه مخاطره سیلاب، زمین‌لغزش و زمین‌لرزه پرداخته شده است. منطقه مذکور به دلیل شرایط خاص جغرافیایی همچون موقعیت، تنوع ساختارهای توپوگرافی و اکولوژیکی، جمعیت متراکم و به طور کلی وجود عوامل زمینه‌ساز مخاطرات محیطی از استعداد بالایی برای وقوع مخاطرات محیطی برخوردار می‌باشد. جهت انجام تجزیه و تحلیل‌های موردنظر از روش تحلیل شبکه (ANP) و روش‌های فازی استفاده شده است و بدین منظور با بررسی عوامل مختلفی همچون توپوگرافی، اقلیم، زمین‌شناسی، هیدرولوژی، انسانی، تاریخی ۱۲ عنصر شامل بارش، شبیب، لیتوولوژی، نوع خاک، فاصله از گسل، تراکم آبراهه، سطح آبهای زیرزمینی، کاربری اراضی، فاصله از جاده، تراکم لغزش‌ها و لرزه‌خیزی به عنوان معیارهای موردمطالعه تعیین شده است. نتایج تحلیل شبکه حاکی از این است که عناصر شبیب، بارش، لیتوولوژی و فاصله از گسل به ترتیب دارای بیشترین اهمیت بوده‌اند. تلفیق معیارها نیز نشان می‌دهد که قسمت‌های عمده‌ای در شمال غرب، غرب و جنوب منطقه در نواحی بسیار مخاطره‌آمیز واقع شده‌اند و ۵۹ درصد از مجموع وسعت منطقه جزو مناطق پر خطر محسوب می‌شود. مطابق تحلیل خطرپذیری جمعیتی، ۶۱ درصد از کل جمعیت منطقه در معرض حداقل یک مخاطره، ۷ درصد در معرض دو مخاطره و ۸ درصد جمعیت نیز در معرض سه مخاطره واقع شده‌اند و این به معنای خطرپذیری محیطی زیاد بخش سیلوانا است.

واژه‌های کلیدی: تحلیل فضایی، مخاطرات محیطی، سیلوانا، تحلیل شبکه (ANP)، خطرپذیری

<sup>۱</sup>. نویسنده مسئول:

## مقدمه

مخاطرات طبیعی را می‌توان جزو مهم‌ترین تهدیدهای موجود برای محیط‌زیست و جوامع انسانی به حساب آورد که قابلیت رخ دادن در هر زمان و مکانی از کره زمین را دارا می‌باشند. گزارش بانک جهانی نشان می‌دهد که چیزی حدود ۳/۸ میلیون کیلومترمربع و ۷۹۰ میلیون نفر در سرتاسر جهان به‌طور مستقیم در معرض حداقل دو مخاطره و حدود ۰/۵ میلیون کیلومترمربع و ۱۰۵ میلیون نفر نیز در معرض سه یا چند مخاطره طبیعی قرار دارند (Gallina, et al, ۲۰۱۶). بلایای طبیعی در طی سال‌های اخیر در بسیاری از کشورهای جهان به وقوع پیوسته و موجب خسارت‌های گسترده اجتماعی و اقتصادی شده است بهنحوی که آمارها نشان می‌دهد هرساله به‌طور متوسط جان ۱۵۰.۰۰۰ انسان در خطر بوده و خسارتی بالغ بر ۱۴۰ میلیارد دلار بر کشورها و بهویژه کشورهای کم‌تر توسعه یافته تحمیل شده است (آزاده و تقوایی، ۱۳۹۶). این مخاطرات در اغلب موارد اثرات مخربی در جوامع شهری و روستایی بر جای گذاشته و برای سالیان متمادی در ابعاد محیطی، اجتماعی، اقتصادی و روان‌شناسی محسوس می‌باشند (فرجی سبکبار و همکاران، ۱۳۹۳). مخاطرات طبیعی در کشورهای مستعد را می‌توان یکی از عوامل اصلی بازدارنده توسعه محسوب نمود و از آنجاکه یکی از شاخص‌های مهم توسعه کشورها میزان آمادگی آن‌ها در برابر مخاطرات طبیعی است، توجه به این مقوله دارای اهمیت بسیار زیادی است و بایستی به منظور کاهش آسیب‌پذیری سکونتگاه‌های انسانی اقدامات مناسبی صورت بپذیرد.

در معرض خطر بودن، اصطلاحی است که انعکاس‌دهنده دامنه واقعی بالقوه زیان‌بخش و قابلیت تغییر آن‌ها در یک مکان معین است و عنصری مهم در تعیین حساسیت جامعه نسبت به مخاطرات محیطی در هر منطقه می‌باشد (اسمیت، ۱۳۸۲). بیشتر مردم در معرض یک خطر محیطی قرار دارند که ممکن است در جریان باشند یا از آن اطلاع نداشته باشند (پریتانو و همکاران، ۱۳۹۳). تأثیرات مخرب مخاطرات طبیعی را می‌توان با در اختیار داشتن اطلاعات جامع و مفید از مناطق مختلف به حداقل رساند. تهیه نقشه‌های چندخطی (Multi-Hazard Mapping) یکی از راههای دسترسی به اطلاعات ارزشمند در ارتباط با مناطق مورد مطالعه است که برای مشخص نمودن مخاطرات بالقوه و ریسک‌های موجود مورداستفاده قرار می‌گیرند. با در اختیار داشتن این اطلاعات، امکان تحلیل و بررسی عناصری از قبیل جمعیت، ساختمان‌ها، زیرساخت‌ها و منابع حیاتی وجود دارد. نمایش فضایی مخاطرات بالقوه می‌تواند بسیار سودمند باشد زیرا امکان شناسایی محدوده‌های در معرض خطر وجود دارد. تهیه نقشه خطرات همراه با اطلاعاتی در مورد منطقه‌ای که این خطرات در آن‌ها به وقوع خواهند پیوست، روندها و الگوهایی را نشان می‌دهند که به اشکال دیگر قابل دستیابی نیستند. با مجهر شدن به این نوع اطلاعات، برنامه‌ریزان و تصمیم‌گیران می‌توانند تصمیم‌های آگاهانه‌تری درباره نحوه انجام اقدام‌های پیشگیری و کاهش اثرات سوانح بگیرند. این نقشه‌ها هم به کارشناسان و هم به مردم محلی برای شناخت خطراتی که تهدیدشان می‌کند، کمک شایانی می‌کنند (عسگری و همکاران، ۱۳۹۱). در این میان، سیستم اطلاعات جغرافیایی (GIS)، ابزاری مناسب جهت نمایش مناطق مخاطره‌آمیز در مقیاس وسیع و زمانی کوتاه است (Nugraha, et al, ۲۰۱۸) و نقشه‌هایی که بدین‌وسیله تهیه می‌شوند این قابلیت را فراهم می‌کنند که اطلاعات توصیفی مربوط به پدیده‌های خاص با موقعیت مکانی آن‌ها مرتبط شده و امکان انجام تحلیل‌های پیچیده فضایی میسر گردد و تمامی این اطلاعات در ترکیب با یکدیگر در توجیه اقدام‌های پیشگیری از سوانح و بحران‌ها مورداستفاده قرار گیرند.

تحلیل فضایی مخاطرات زمین به‌واسطه برخورداری از نگاه خاص و ویژه به مسئله پهنه‌بندی و معرفی نواحی مخاطره‌آمیز ناشی از هم‌کارکردی و همزادی برخی مخاطرات طبیعی توانسته است تصویر روشن‌تر و دقیق‌تری از خطرزایی بستر و خطرپذیری گروه‌های انسانی ساکن در آن را ارائه نماید (شریفی کیا و همکاران، ۱۳۸۹) و به همین دلیل در

Tate and Susan (۲۰۱۰)، در پژوهش خود با ترکیب معیارهای مربوط به دامنه خطر، خسارات مادی، زیرساختها و شاخصهای اجتماعی در منطقه چارلستون در کارولینای جنوبی، اقدام به تهیه نقشه چندخطی برای منطقه نموده‌اند. نتایج این پژوهش نشان از این دارد که نقشه مذکور قابلیت بالایی در نمایش پهنه‌های آسیب‌پذیر دارا بوده و علاوه بر تعیین مناطق خطرپذیر، می‌تواند تعداد جمعیت و محل سکونت آن‌ها را نیز نشان دهد و نقش مهمی در کاهش خسارات بلایا دارد. هیسین و شنگ (Hsien and Sheng, ۲۰۱۱)، در بررسی‌های خود در کشور تایوان، با ترکیب داده‌های مربوط به مخاطرات طبیعی و کاربری زمین به تحلیل فضایی منطقه ازنظر مخاطرات طبیعی با تأکید بر خطر زمین‌لغزش پرداخته و به این نتیجه دست یافته‌اند که از سال ۲۰۰۶ به بعد مناطق تایپه، تایچونگ و کائوسونگ از مستعدترین مناطق ازنظر مخاطرات طبیعی می‌باشند. پنگ و همکاران (Peng, et al, ۲۰۱۲)، با استفاده از تحلیل‌های چندمعیاره، نقش تهیه نقشه‌های مخاطرات بالقوه را در جلوگیری از وقوع آثار مخرب بلایا در منطقه چانگوا تایلند مورد مطالعه قرار داده‌اند. آن‌ها با تحلیل و تلفیق پتانسیل زمین‌لغزش، سیل و روانه‌های گلی نقشه مخاطرات محیطی بالقوه را در منطقه مذکور ترسیم نموده و بیان کرده‌اند که این امر می‌تواند برای دولت محلی و مردم بومی بسیار مفید و مؤثر واقع شود. مینوچر (Minucser, ۲۰۱۳)، به این نتیجه رسیده است که از مجموع ۹۷۹/۶ کیلومترمربع از منطقه کوهستانی فروسکاگورا در کشور صربستان، ۴۰ درصد آن تحت الشاعع یک یا چند نوع مخاطره از جمله زمین‌لرزه، حرکات دامنه‌ای، فرسایش شدید و سیلاب‌های برق‌آسا قرار دارد که این موضوع ذخایر طبیعی و فرهنگی پارک ملی فروسکاگورا در قسمت مرکزی این منطقه را تهدید می‌کند. او دوح (Udoch, ۲۰۱۵)، اقدام به ترسیم نقشه آسیب‌پذیری منطقه ساحلی آکوا در نیجریه ازنظر مخاطره سیل و فرسایش با به کارگیری GIS و داده‌های مربوطه نموده و منطقه مذکور را پهنه‌بندی نموده است. مطابق نتیجه‌گیری وی، نقشه چندخطی آسیب‌پذیری می‌تواند موجب تعامل اطلاعاتی مفیدی در مقوله مخاطرات محیطی شده و درک بهتری از مخاطرات محیطی را به مدیران بحران القا نماید. Nugraha, et al, ۲۰۱۸)، با استفاده از منطق فازی و لایه‌های مختلف در محیط نرم‌افزار GIS منطقه شهری سمارنگ در ایالت جاوا اندونزی را از نظر سیل، زمین‌لغزش و خشک‌سالی پهنه‌بندی نموده و با نتیجه‌گیری خود عنوان نموده‌اند که نقشه‌های چندخطی حاصل از روش‌های فازی دارای دقت بالایی بهمنظور نمایش پهنه‌های مخاطره‌آمیز هستند.

در عرصه داخلی نیز، غلامی (۱۳۹۰)، شهرستان شیروان را با هدف شناسایی نواحی آسیب‌پذیر و پرمخاطره و تهیه نقشه پتانسیل مخاطرات شامل سیلاب، زمین‌لغزش و زلزله مورد مطالعه قرار داده است. وی با بهره‌گیری از GIS و مدل منطق فازی و تلفیق لایه‌های اطلاعاتی در مدل مذکور، نقشه نهایی پهنه‌بندی خطر را تهیه نموده است. نتایج این تحلیل نشان از این دارد که نواحی جنوبی و شرقی شهرستان شیروان پرمخاطره‌ترین نواحی بوده‌اند. یمانی و مرادی‌پور (۱۳۹۲)، سه استان در غرب کشور را از نظر سه مخاطره زلزله، سیل و لغزش مورد مطالعه قرار داده‌اند. نتایج پژوهش آنان نشان می‌دهد که استان لرستان از نظر پتانسیل مخاطرات دارای بیشترین توسعه نسبت به سه استان کردستان، کرمانشاه و مرکزی است. علوی و همکاران (۱۳۹۴)، با به کارگیری لایه‌های اطلاعاتی در قالب روش AHP، به پهنه‌بندی سکونتگاه‌های روستایی شهرستان تالش از نظر مخاطرات محیطی پرداخته است. نتایج این پژوهش نشان می‌دهد که از تعداد ۳۱۵ روستایی شهرستان، ۱۵۵ روستا یعنی ۴۹ درصد در معرض خطر بالای زلزله قرار دارند که این موضوع لزوم بهسازی و نوسازی مساکن روستایی را مشخص می‌کند. یمانی و خسروانی (۱۳۹۶)، در تحلیل فضایی پهنه‌های مخاطره‌آمیز استان اردبیل با استفاده از منطق فازی، به این نتیجه رسیده‌اند که از نظر خطر زمین‌لرزه بخش‌های وسیعی از شمال و جنوب

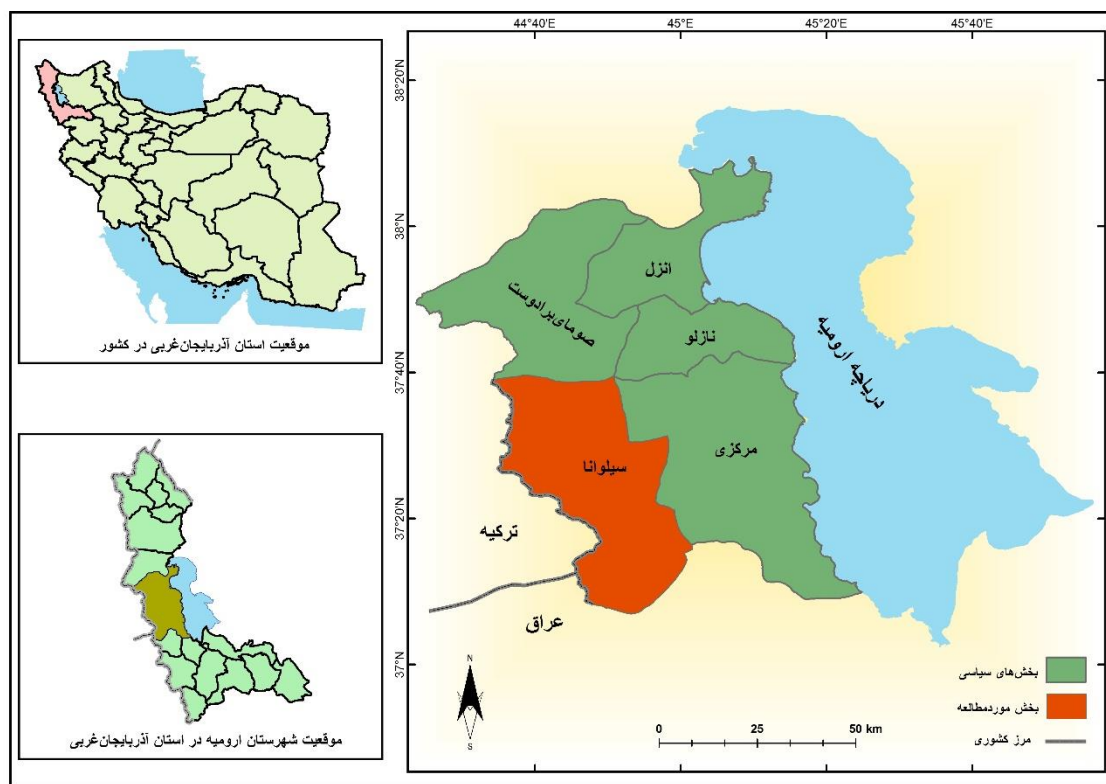
منطقه در پهنه بسیار خطرناک قرار دارند. از نظر حرکات دامنه‌ای، بخش‌های غربی و جنوب شرقی بیشترین آسیب‌پذیری را دارند و بیشترین خطر سیل خیزی و فرسایش در حوالی شمال غربی تا غرب و تا حدودی جنوب شرقی منطقه است. به طور کلی نقشه نهایی پهنه‌بندی مخاطرات آن‌ها حاکی از این است که بخش‌های شمال غربی و جنوب شرقی استان اردبیل در پهنه‌های بسیار خطرناک قرار دارند. قنبری و پاشانژاد سیلاپ (۱۳۹۷)، به تحلیل فضایی آسیب‌پذیری محیطی در سطح منطقه‌ای در کرانه شرقی دریاچه ارومیه با تلفیق تکنیک‌ها و داده‌های فضایی در قالب چهار شاخص پرداخته و بی برده‌اند که بیش از ۵۰ درصد سطح منطقه در گروه آسیب‌پذیری زیاد و خیلی زیاد واقع شده‌اند. عنابستانی و همکاران (۱۳۹۷)، در تحلیل فضایی سطح تاب‌آوری سکونتگاه‌های روستایی در برابر مخاطرات محیطی در بخش مرکزی شهرستان فاروج به این نتیجه رسیده‌اند که شاخص رضایت روستائیان از عملکرد شورا و دهیاری بیشترین نقش را در تاب‌آوری روستایی دارا می‌باشد و بر این اساس، روستاهای مفرنقا، استاد و پیرعلی دارای حداکثر تاب‌آوری و روستاهای ریزه و رشوانلو دارای حداقل تاب‌آوری هستند.

برخی مناطق جهان به خاطر موقعیت جغرافیایی و یا شرایط حیاتی خاص خود بیش از سایر مناطق در معرض تأثیرات منفی بلایای طبیعی قرار دارند. تحقیقات مختلف (کاویانی‌راد، ۱۳۸۹؛ رکن‌الدین افتخاری و همکاران، ۱۳۸۸؛ سدیدی و همکاران، ۱۳۹۵؛ زارع و کامران‌زاد، ۱۳۹۳) نشان می‌دهد که کشور ایران بنا به دلایل مختلف همچون موقعیت جغرافیایی خاص خود، عوامل محیطی، زیرساخت‌های غیراستاندارد و دانش ضعیف مردم محلی همواره با سوانح طبیعی روبرو بوده است و تاریخ و علم نیز نشان داده که تقریباً هیچ جای آن مصون از مخاطرات طبیعی نیست. بخش سیلوانا به خاطر شرایط اکولوژیکی و تنوع ساختارهای توپوگرافی دارای پتانسیل‌های فراوانی برای وقوع مخاطرات طبیعی بوده و ارزیابی و تحلیل وضعیت منطقه از نظر خصوصیات طبیعی و انسانی می‌تواند به شناخت ساختاری منطقه و تعیین نواحی آسیب‌پذیر در برابر انواع مخاطرات کمک شایانی نماید و لذا تهیه نقشه پهنه‌بندی مخاطرات در محدوده موردمطالعه ضروری و لازم به نظر می‌رسد. با توجه به موارد ذکر شده، در پژوهش حاضر اقدام به تهیه نقشه پهنه‌بندی مخاطرات و تحلیل فضایی خطرپذیری محیطی در بخش سیلوانا با تأکید بر سه مخاطره سیلاپ، زمین‌لرزه و زمین‌لغزش شده است.

## داده‌ها و روش کار

### • قلمرو جغرافیایی مورد مطالعه

محدوده موردمطالعه در این پژوهش، بخش سیلوانا به عنوان یکی از بخش‌های سیاسی واقع در شهرستان ارومیه در استان آذربایجان غربی است که در غرب آن واقع شده و مساحتی حدود ۱۳۴۶ کیلومترمربع را در بر می‌گیرد. محدوده این بخش در مختصات جغرافیایی بین ۴۴ درجه و ۳۴ دقیقه و ۹ ثانیه تا ۴۵ درجه و ۱ دقیقه و ۳۳ ثانیه طول شرقی و ۳۷ درجه و ۶ دقیقه و ۵۹ ثانیه تا ۳۷ درجه و ۳۹ دقیقه و ۳۴ ثانیه عرض شمالی قرار دارد. سیلوانا از طرف شمال به بخش صومای برادوست، از طرف شرق به بخش مرکزی، از جنوب به شهرستان اشنویه، از غرب به استان حکاری ترکیه و از جنوب غربی به استان اربیل عراق منتهی می‌شود و بر این اساس می‌توان گفت که دارای مرز مشترک با دو کشور ترکیه و عراق است (شکل ۱).



شکل ۱. نقشه محدوده مورد مطالعه

### روش کار

پژوهش حاضر یک پژوهش کاربردی از نوع توصیفی – تحلیلی می‌باشد. در پژوهش حاضر با توجه به تأثیر عناصر و معیارهای متعدد در مسئله موربدبررسی و لزوم برقراری روابط بین عناصر، از روش فرایند تحلیل شبکه (ANP) و توابع فازی جهت تجزیه و تحلیل معیارها استفاده شده است و جهت گردآوری داده‌های موردنیاز پژوهش از روش‌های کتابخانه‌ای، نرم‌افزاری و میدانی استفاده شده است. داده‌های مورداستفاده در پژوهش و مرجع آن‌ها عبارتند از:

- نقشه زمین‌شناسی با مقیاس ۱:۱۰۰.۰۰۰ و ۱:۲۵.۰۰۰ سیلوانا و شماره برگه ۴۹۶۴ (سازمان زمین‌شناسی و اکتشافات معدنی کشور)، لایه خطوط گسل و لایه سنگ‌شناسی منطقه با عملیات رقومی‌سازی نقشه‌های فوق استخراج شده است.
  - لایه رقومی مدل ارتفاعی (DEM) با شماره N<sup>۳۷</sup>E<sup>۴۴</sup> و N<sup>۳۷</sup>E<sup>۴۵</sup> از آرشیو داده‌های SRTM (سازمان زمین‌شناسی ایالات متحده آمریکا)، لایه‌های شیب، جهت شیب و تراکم آبراهه از این لایه استخراج شده است.
  - لایه زمین‌لرزه‌های رویداده در منطقه از تاریخ ۱۹۳۰ تا ۲۰۱۸ و با شدت بالاتر از ۳/۵ ریشتر (سازمان زمین‌شناسی ایالات متحده آمریکا)،
  - لایه زمین‌لغزش‌های رویداده در منطقه و لایه خطوط ارتباطی (استخراج از نرم‌افزار گوگل ارث)،
  - لایه‌های کاربری اراضی، نوع خاک‌ها، سطح آب‌های زیرزمینی و میزان بارندگی (ستاد احیای دریاچه ارومیه)،
  - سالنامه آماری سال ۱۳۹۵ استان آذربایجان غربی به تفکیک تقسیمات سیاسی (مرکز آمار ایران).
- به طور کلی پژوهش حاضر در چهار مرحله اصلی و چند گام به شرح زیر صورت گرفته است:

مرحله اول: آماده‌سازی پایگاه داده و تهیه نقشه‌های معیار، که برای این کار از توابع تحلیلی موجود در نرم‌افزار ArcGIS ۱۰.۴.۱ استفاده شده است.

مرحله دوم: تعیین وزن نقشه‌های معیار؛ بدین منظور از روش ANP استفاده شده است. روش مذکور یکی از فنون تصمیم‌گیری چندمعیاره بوده و جزء مدل‌های جبرانی محسوب می‌شود. روش تحلیل شبکه دارای پنج گام به شرح زیر است:

گام اول: ساخت مدل شبکه‌ای و تبیین مسئله موردنظر،

گام دوم: انجام ماتریس مقایسه‌های زوجی و تعیین بردار اولویت معیارها،

گام سوم: محاسبه سوپرماتریس ناموزون،

گام چهارم: محاسبه سوپرماتریس موزون.

گام پنجم: محاسبه وزن نسبی. با توجه به تعداد زیاد محاسبات فرایند تحلیل شبکه در این پژوهش از نرم‌افزار Super Decisions ۲,۶,۰ استفاده شده است.

مرحله سوم: استانداردسازی نقشه‌ها؛ با توجه به هم مقیاس نبودن نقشه‌های معیار، این نقشه‌ها باید با استفاده از قواعد تصمیم‌گیری به مقیاسی تبدیل شوند که امکان تلفیق آنها با یکدیگر فراهم شود. منطق فازی یکی از روش‌های ارزیابی ابهام و عدم قطعیت است و هر کدام از اعضای مجموعه‌های فازی دارای یک درجه عضویت خاص در آن مجموعه هستند که این درجه بین صفر تا یک متغیر است و درجه یک دارای بیشترین ارزش و درجه صفر دارای کمترین ارزش می‌باشد. در پژوهش حاضر از میان توابع مختلف فازی، از سه تابع خطی (Linear)، کمینه (Small) و بیشینه (Large) استفاده شده است. در تابع خطی، یک رابطه خطی بین مقادیر حداقل تا حداکثر بر اساس مقادیر موردنظر کاربر برقرار می‌شود و مقادیر کمتر از میانه ارزش پایین‌تر و مقادیر بیشتر از میانه ارزش بالاتری دریافت می‌کنند. تابع کمینه زمانی استفاده می‌شود که مقادیر ورودی پایین‌تر درجه عضویت بیشتری می‌گیرند و در تابع بیشینه نیز ورودی‌های با مقدار بالاتر از احتمال درجه عضویت کمتری برخوردار هستند.

مرحله چهارم: تلفیق نقشه‌ها؛ نهایتاً عملیات تلفیق فازی انجام گرفته است و از میان عملگرهای فازی موجود، عملگر گامای فازی Fuzzy Gamma ۰/۹ ۰/۹ (Fuzzy Gamma) جهت همپوشانی نقشه‌های وزن‌دار و تهیه نقشه‌های پهنه‌بندی مخاطرات محیطی مورداستفاده قرار گرفته است.

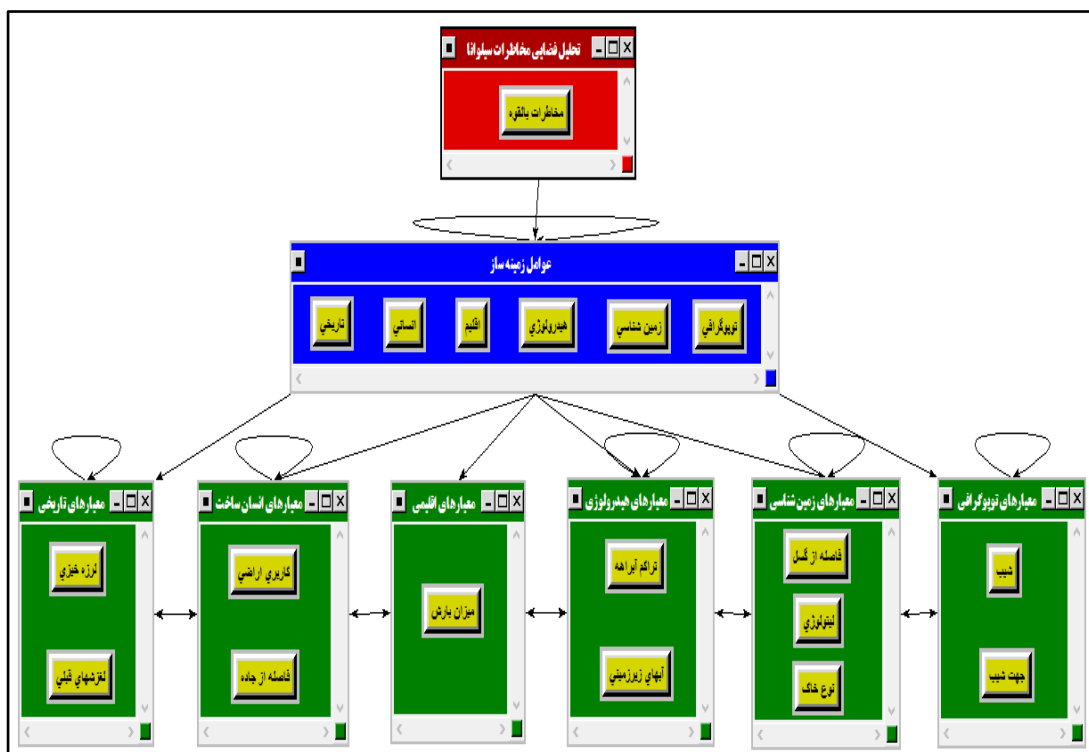
#### - تشریح فرایند تحلیل شبکه‌ای

مدل فرایند تحلیل شبکه‌ای یکی از مدل‌های نسبتاً جدید تصمیم‌گیری است که قابلیت بررسی نظاممند روابط متقابل، روابط درونی و بازخوردهای موجود بین سطوح مختلف مسئله موردنظر را دارد. از آنچاکه مسئله موردمطالعه در پژوهش حاضر یک مسئله مکانی است و عناصر این مسئله را داده‌های مکان‌محور تشکیل می‌دهند لذا جهت مشخص شدن میزان ارزش هر یک از عناصر به منظور تهیه نقشه پهنه‌بندی مخاطرات، مدل ANP به صورت گام‌به‌گام به اجرا درآمده است.

#### ✓ تبیین ساختار شبکه‌ای

در اولین گام جهت تبیین ساختار مسئله موردمطالعه باید یک شبکه که معرف متغیرهای مسئله موردنظر شامل هدف، معیارها، زیرمعیارها یا گزینه‌ها باشد طراحی نمود. این شبکه خود در دو گام طراحی شده است: در گام اول متغیرها در

قالب خوشه‌های مختلف از بالا به پایین در ساختار سلسله‌مراتبی قرار گرفته‌اند. هدف پژوهش بالاترین خوشه در ساختار موجود است و خوشه بعدی در برگیرنده عوامل مؤثر در مسئله تصمیم‌گیری است که در اینجا شامل توپوگرافی، زمین‌شناسی، هیدرولوژی، اقلیم، عوامل انسانی و پیشینه تاریخی است. همچنین عناصر شیب، جهت شیب، فاصله از گسل، لیتوولوژی، نوع خاک‌ها، تراکم رودخانه‌ها، آبهای زیرزمینی، بارش، کاربری اراضی، فاصله از جاده‌ها، لغزش‌های رخداده و لرزه‌خیزی در خوشه مربوط به زیرمعیارها قرار دارند. با تبیین ساختار شبکه‌ای، در گام بعدی به ایجاد روابط بین متغیرها پرداخته شده است. با توجه به هدف پژوهش که همان پنهان‌بندی مخاطرات محیطی است، ممکن است یک عنصر یا چندین عنصر در بررسی مخاطرات موردنظر دارای نقش‌آفرینی باشند، به عنوان مثال لیتوولوژی در هر سه مخاطره سیلان، زمین‌لغزش و زمین‌لرزه تأثیرگذار است و لذا با درنظرگرفتن نقش عناصر در مخاطره موردنظر اقدام به برقراری روابط شده است. بر این اساس، علاوه بر این که خوشه‌ها با هم‌دیگر در ارتباط هستند، عناصر موجود در هر خوشه نیز با هم‌دیگر ارتباط دارند و عناصر موجود در خوشه‌های مختلف نیز در تعامل با یکدیگر می‌باشند (شکل ۲).



شکل ۲. ساختار شبکه‌ای تحلیل مخاطرات بالقوه محیطی

#### ✓ مقایسات زوجی معیارها

برای انجام ماتریس مقایسات زوجی بین معیارهای پژوهش از مقیاس ساتی (Saaty) که دارای یک طیف نه کمیتی است، استفاده شده است. به وسیله مقیاس مذکور می‌توان قضاوت‌ها را در بازه عددی ۱ تا ۹ انجام داد بهطوری که عدد ۱ بیانگر ارزش برابر دو عنصر و عدد ۹ بیانگر اهمیت بینهایت زیاد یک عصر نسبت به دیگری است (جدول ۱). بدین ترتیب با انجام ماتریس مقایسات زوجی، مقدار وزن یا ارزش نسبی عناصر مورد مطالعه به دست می‌آید. جهت برقراری ماتریس مقایسه‌های زوجی میان عناصر پژوهش، با توجه به تعداد و حجم بالای محاسبات موردنیاز، از نرم‌افزار سوپر دسیشن استفاده شده است.

## جدول ۱. مقیاس انجام مقایسات زوجی (Saaty, ۲۰۰۸)

تفسیر	میزان اهمیت	مقدار عددی
دو عنصر دارای سهم برابر از مسئله تصمیم‌گیری هستند	برابر	۱
	ضعیف یا ناچیز	۲
یک عنصر بر اساس تجربه و قضاوت تحلیل‌گر دارای اندکی برتری بر دیگری است	متوسط	۳
	متوسط تا زیاد	۴
یک عنصر بر اساس تجربه و قضاوت تحلیل‌گر دارای غلبه نسبی بر دیگری است	نسبتاً زیاد	۵
	زیاد	۶
یک عنصر از ارجحیت بسیار زیادی نسبت به دیگری برخوردار است	خیلی زیاد	۷
	فوق العاده زیاد	۸
یک عنصر به صراحت دارای بالاترین برتری نسبت به دیگری است	بی‌نهایت زیاد	۹

ماتریس‌های مذکور با توجه به روابط برقرارشده بین معیارها عملیاتی شده است. به منظور بهینه‌سازی و دستیابی به سازگاری قابل قبول در محاسبات و با توجه به اینکه نرخ ناسازگاری (Inconsistency Ratio) استاندارد برای مقایسات زوجی حدکثر ۰/۱ است، پس از تکمیل ماتریس‌ها نسبت به رفع خطاها احتمالی موجود در آن‌ها اقدام شده و مشخص شده است که نرخ ناسازگاری به دست‌آمده برای ماتریس‌های صورت‌گرفته از سازگاری قابل قبولی برخوردار بوده و محاسبات دارای دقت و اعتبار بالایی می‌باشد.

## ✓ محاسبه سوپرماتریس ناموزون

در اولین مرحله پس از تشکیل ماتریس مقایسات زوجی میان عناصر، سوپرماتریس اولیه تحت عنوان سوپرماتریس ناموزون یا غیروزنی محاسبه شده است که مبنای محاسبات و سوپرماتریس‌های بعدی قرار خواهد گرفت. وزن‌های حاصله در این سوپرماتریس با توجه به روابط متقابل میان عناصر محاسبه شده است. در واقع این سوپرماتریس از اجتماع بردارهای ویژه حاصل از مقایسه‌های زوجی به دست‌آمده است و خود بردارهای ویژه نیز از استانداردسازی ماتریس‌های مرحله قبل حاصل می‌شوند (جدول ۲).

## جدول ۲. سوپرماتریس ناموزون

تاریخی		انسانی		اقلیم	هیدرولوژی	زمین‌شناسی			توبوگرافی		عنصر	آن
لزه‌بندی	تغییرات قبلی	فاصله از جاده	کاربری اراضی	برند	آب‌های زیرزمینی	آب‌های زیرزمینی	کوه‌خانه‌ها	کوه	کوهستانی	فاصله از گسل	آن	آن
۰	۰/۶۶	۰/۵	۱	۱	۰	۱	۱	۰/۲۷	۰/۳۸۹	۰/۲۲۹	۰	شیب
۰	۰/۲۲	۰/۱۶۵	۰	۰	۰	۰	۰	۰/۱۲	۰/۱۳۳	۰	۰/۲۲۹	جهت شیب
۰/۶۸۶	۰/۵	۰/۵	۰	۰	۰/۱۴۹	۰	۰	۰/۶۶۸	۰	۰/۵	۰	فاصله از گسل

۰/۱۲۶	۰/۵	۰/۵	۱	۱	۰/۳۷۶	۱	۱	۰	۰/۰۹	۰/۵	۱	لیتولوژی	
۰	۰/۱۷۲	۰/۱۴۸	۰/۱۶۶	۰/۱۳۷	۰	۰/۱۳۷	۰	۰/۲۱۱	۰/۳۱۳	۰/۱۳۷	۰/۱۹۲	نوع خاک	
۰	۰/۰۹۵	۰/۱۸۴	۰/۱۶۶	۰/۶۸۹	۰	۰	۰/۱۵۷	۰/۱۲۴	۰	۰/۲۷	۰/۰۹۹	تراکم رودخانه‌ها	۱۰۰
۰/۱۸۶	۰	۰	۰	۰	۰	۰	۰	۰/۲۲	۰/۱۸۱	۰	۰	آب‌های زیرزمینی	۱۰۰
۰	۰/۴۷	۰/۳۱۲	۰/۶۶۶	۰	۰	۰/۶۸۹	۰/۶۳۱	۰/۳۶۲	۰/۰۹۵	۰/۴۳۴	۰/۳۷۲	بارندگی	۱۰۰
۰	۰/۲۶	۰/۳۵۳	۰	۰/۱۷۲	۰	۰/۱۷۲	۰/۲۱	۰/۳	۰/۴	۰/۱۵۷	۰/۳۳۵	کاربری اراضی	۱۰۰
۰	۰/۱۱	۰	۰	۰	۰	۰	۰	۰/۰۶۸	۰/۰۹۴	۰/۰۷۶	۰/۰۷۶	فاصله از جاده	۱۰۰
۰	۰	۰/۳۳۱	۰	۰	۰	۰	۰	۰/۵۴	۰/۳۸۱	۰/۶۹۴	۰/۶۹۴	لغزش‌های قبای	۱۰۰
۰	۰	۰	۰	۰	۰/۴۷۴	۰	۰	۰/۱۱	۰/۷۲۷	۰	۰	لرزه‌خیزی	۱۰۰

### ✓ محاسبه سوپرماتریس موزون

در سوپرماتریس موزون، ستون‌های سوپرماتریس ناموزون استاندارد شده و از عناصر موجود در هر ستون بر اساس وزن نسبی آن‌ها فاکتور گرفته می‌شود و نهایتاً جمع هر ستون برابر یک خواهد شد. این موضوع مشابه زنجیره مارکوف است که مجموع احتمال تمامی وضعیت‌ها باید برابر یک گردد (ایمانی و پورخسروانی، ۱۳۹۶). در این مرحله، سوپرماتریس اولیه حاصل از مرحله قبلی نرمال‌سازی شده است و سوپرماتریس جدیدی تحت عنوان سوپرماتریس موزون یا وزن دار تشکیل شده است (جدول ۳). در این سوپرماتریس نیز، وزن هر عنصر از جدول نسبت به خودش صفر بوده و صفر بودن سایر عناصر نسبت به یکدیگر به نحوه تبیین ارتباطات شبکه‌ای اولیه وجود یا عدم وجود ارتباط میان دو عنصر در دو خوشه مختلف مربوط می‌شود.

جدول ۳. سوپرماتریس موزون

تاریخی	انسانی		اقليم	هیدرولوژی		زمین‌شناسی		توپوگرافی		عنصر	۱۰۰
لرزه‌خیزی	لغزش‌های قبای	فاصله از جاده	کاربری اراضی	بُرندگی	آب‌های زیرزمینی	رودخانه‌ها	ک	لایه‌های زمین‌شناسی	فاصله از گسل	لایه‌های توپوگرافی	ج
۰/۲۲۲	۰/۱۶۷	۰/۳۳۳	۰/۳۳۳	۰	۰/۳۳۳	۰/۳۳۳	۰/۰۹	۰/۱۲۹	۰/۰۷۶	۰	شیب
۰/۰۷۳	۰/۰۵۵	۰	۰	۰	۰	۰	۰/۰۴	۰/۰۴۴	۰	۰/۰۷۶	جهت شیب
۰/۶۸۶	۰/۱۶۶	۰/۱۶۶	۰	۰	۰/۱۴۹	۰	۰	۰/۲۲۲	۰	۰/۱۶۶	فاصله از گسل
۰/۱۲۶	۰/۱۶۶	۰/۱۶۶	۰/۳۳۳	۰/۳۳۳	۰/۳۷۶	۰/۳۳۳	۰/۳۳۳	۰	۰/۰۳	۰/۱۶۶	۰/۳۳۳
											لیتولوژی

.	۰/۰۵۷	۰/۰۴۹	۰/۰۵۵	۰/۰۴۵	.	۰/۰۴۵	.	۰/۰۷	۰/۱۰۴	۰/۰۴۵	۰/۰۶۴	نوع خاک		
.	۰/۰۳۱	۰/۰۶۱	۰/۰۵۵	۰/۲۲۹	.	.	۰/۰۵۲	۰/۰۴۱	۰/۰۶۲	۰/۰۹	۰/۰۳۳	تراکم رودخانه‌ها	۱۰۱	
۰/۱۸۶	۰	۰	۰	۰	۰	۰	۰	۰/۰۷۳	۰/۰۶	۰	۰	آب‌های زیرزمینی	۱۰۲	
.	۰/۱۵۶	۰/۱۰۴	۰/۲۲۲	۰	۰	۰/۲۲۹	۰/۲۱	۰/۱۲	۰/۰۳۱	۰/۱۴۴	۰/۱۲۴	بارندگی	۱۰۳	
.	۰/۰۸۶	۰/۱۱۷	۰	۰/۰۵۷	۰	۰/۰۵۷	۰/۰۷	۰/۱	۰/۱۳۴	۰/۰۵۲	۰/۱۱۱	کاربری اراضی	۱۰۴	
.	۰/۰۳۶	۰	۰	۰	۰	۰	۰	۰/۰۲۲	۰/۰۳۱	۰/۰۲۵	۰/۰۲۵	فاصله از جاده	۱۰۵	
.	۰	۰/۱۱	۰	۰	۰	۰	۰	۰/۱۸	۰/۱۲۷	۰/۲۳۱	۰/۲۳۱	لغزش‌های قبلی	۱۰۶	
.	۰	۰	۰	۰	۰	۰/۴۷۴	۰	۰/۰۳۶	۰/۲۴۲	۰	۰	لرزه‌خیزی	۱۰۷	

#### ✓ محاسبه ماتریس حدی

آخرین مرحله در انجام ماتریس‌های ANP محاسبه بردار وزن عمومی است. جهت به دست آوردن مقدار وزن عمومی عناصر، اعداد سوپرماتریس موزون تا جایی به توان رسانده می‌شوند که همگرا شده و ارقام واقع در هر ردیف جدول یکسان‌سازی شده و ماتریسی که عناصر آن در هر سطر دارای یک مقدار مشخص و یکسان باشد به عنوان ماتریس حدی در نظر گرفته خواهد شد. مقادیر موجود در ستون‌ها نیز برای تمامی عناصر موجود با توجه به خواص، برابر یک خواهد بود. همان‌طور که در جدول ۴ نیز قابل مشاهده است، در نهایت وزن نسبی تک‌تک عناصر مورد مطالعه به دست می‌آید (جدول ۴).

جدول ۴. ماتریس حدی

تاریخی		انسانی		اقلیم	هیدرولوژی	زمین‌شناسی		توبوگرافی				
لرزه‌خیزی	لغزش‌های قبلی	فاصله از جاده	کاربری اراضی	بارندگی	آب‌های زیرزمینی	رودخانه‌ها	ذار	بن‌لولوژی	فاصله از گسل	پل	بر	عنصر
۰/۲۰۱	۰/۲۰۱	۰/۲۰۱	۰/۲۰۱	۰/۲۰۱	۰/۲۰۱	۰/۲۰۱	۰/۲۰۱	۰/۲۰۱	۰/۲۰۱	۰/۲۰۱	۰/۲۰۱	شیب
۰/۰۳۳	۰/۰۳۳	۰/۰۳۳	۰/۰۳۳	۰/۰۳۳	۰/۰۳۳	۰/۰۳۳	۰/۰۳۳	۰/۰۳۳	۰/۰۳۳	۰/۰۳۳	۰/۰۳۳	جهت شیب
۰/۱۰۶	۰/۱۰۶	۰/۱۰۶	۰/۱۰۶	۰/۱۰۶	۰/۱۰۶	۰/۱۰۶	۰/۱۰۶	۰/۱۰۶	۰/۱۰۶	۰/۱۰۶	۰/۱۰۶	فاصله از گسل
۰/۱۱۲	۰/۱۱۲	۰/۱۱۲	۰/۱۱۲	۰/۱۱۲	۰/۱۱۲	۰/۱۱۲	۰/۱۱۲	۰/۱۱۲	۰/۱۱۲	۰/۱۱۲	۰/۱۱۲	لیتو‌لولوژی
۰/۰۵۵	۰/۰۵۵	۰/۰۵۵	۰/۰۵۵	۰/۰۵۵	۰/۰۵۵	۰/۰۵۵	۰/۰۵۵	۰/۰۵۵	۰/۰۵۵	۰/۰۵۵	۰/۰۵۵	نوع خاک

| لرزو  |
|-------|-------|-------|-------|-------|-------|-------|-------|-------|-------|-------|-------|-------|-------|-------|-------|-------|-------|-------|
| ۰/۰۷۸ | ۰/۰۷۸ | ۰/۰۷۸ | ۰/۰۷۸ | ۰/۰۷۸ | ۰/۰۷۸ | ۰/۰۷۸ | ۰/۰۷۸ | ۰/۰۷۸ | ۰/۰۷۸ | ۰/۰۷۸ | ۰/۰۷۸ | ۰/۰۷۸ | ۰/۰۷۸ | ۰/۰۷۸ | ۰/۰۷۸ | ۰/۰۷۸ | ۰/۰۷۸ | ۰/۰۷۸ |
| ۰/۰۳  | ۰/۰۳  | ۰/۰۳  | ۰/۰۳  | ۰/۰۳  | ۰/۰۳  | ۰/۰۳  | ۰/۰۳  | ۰/۰۳  | ۰/۰۳  | ۰/۰۳  | ۰/۰۳  | ۰/۰۳  | ۰/۰۳  | ۰/۰۳  | ۰/۰۳  | ۰/۰۳  | ۰/۰۳  | ۰/۰۳  |
| ۰/۱۶۱ | ۰/۱۶۱ | ۰/۱۶۱ | ۰/۱۶۱ | ۰/۱۶۱ | ۰/۱۶۱ | ۰/۱۶۱ | ۰/۱۶۱ | ۰/۱۶۱ | ۰/۱۶۱ | ۰/۱۶۱ | ۰/۱۶۱ | ۰/۱۶۱ | ۰/۱۶۱ | ۰/۱۶۱ | ۰/۱۶۱ | ۰/۱۶۱ | ۰/۱۶۱ | ۰/۱۶۱ |
| ۰/۰۹۶ | ۰/۰۹۶ | ۰/۰۹۶ | ۰/۰۹۶ | ۰/۰۹۶ | ۰/۰۹۶ | ۰/۰۹۶ | ۰/۰۹۶ | ۰/۰۹۶ | ۰/۰۹۶ | ۰/۰۹۶ | ۰/۰۹۶ | ۰/۰۹۶ | ۰/۰۹۶ | ۰/۰۹۶ | ۰/۰۹۶ | ۰/۰۹۶ | ۰/۰۹۶ | ۰/۰۹۶ |
| ۰/۰۱۶ | ۰/۰۱۶ | ۰/۰۱۶ | ۰/۰۱۶ | ۰/۰۱۶ | ۰/۰۱۶ | ۰/۰۱۶ | ۰/۰۱۶ | ۰/۰۱۶ | ۰/۰۱۶ | ۰/۰۱۶ | ۰/۰۱۶ | ۰/۰۱۶ | ۰/۰۱۶ | ۰/۰۱۶ | ۰/۰۱۶ | ۰/۰۱۶ | ۰/۰۱۶ | ۰/۰۱۶ |
| ۰/۰۴۷ | ۰/۰۴۷ | ۰/۰۴۷ | ۰/۰۴۷ | ۰/۰۴۷ | ۰/۰۴۷ | ۰/۰۴۷ | ۰/۰۴۷ | ۰/۰۴۷ | ۰/۰۴۷ | ۰/۰۴۷ | ۰/۰۴۷ | ۰/۰۴۷ | ۰/۰۴۷ | ۰/۰۴۷ | ۰/۰۴۷ | ۰/۰۴۷ | ۰/۰۴۷ | ۰/۰۴۷ |
| ۰/۰۶  | ۰/۰۶  | ۰/۰۶  | ۰/۰۶  | ۰/۰۶  | ۰/۰۶  | ۰/۰۶  | ۰/۰۶  | ۰/۰۶  | ۰/۰۶  | ۰/۰۶  | ۰/۰۶  | ۰/۰۶  | ۰/۰۶  | ۰/۰۶  | ۰/۰۶  | ۰/۰۶  | ۰/۰۶  | ۰/۰۶  |

با انجام محاسبات مذکور، مقدار وزن نهایی معیارها به دست آمده است (جدول ۵). این وزن به دو شکل وزن نهایی و وزن نرمال شده در هر خوشی که مربوط به ماتریس مقایسات زوجی عناصر سه مخاطره است، بیان شده است که بر اساس آنها می‌توان به بررسی جدگانه هر سه مخاطره در سطح منطقه پرداخت. همان‌طور که در جدول مشاهده می‌شود، به ترتیب عناصر شیب، بارندگی، لیتولوژی و فاصله از گسل دارای بیشترین وزن نسبی بوده و از حداکثر اهمیت در رابطه با وقوع مخاطرات بالقوه محیطی در منطقه سیلوانا برخوردار می‌باشند. عناصر دیگر به ترتیب میزان اهمیت عبارتند از کاربری اراضی، تراکم رودخانه‌ها، لرزو خیزی، نوع خاک، لغزش‌های قبلی، جهت شیب، آب‌های زیرزمینی و فاصله از جاده. مقادیر وزنی حاصله در این مرحله با استفاده ازتابع Raster Calculator در محیط GIS به نقشه مربوط به هر معیار تخصیص داده شده است.

جدول ۵. وزن نهایی عناصر پژوهش

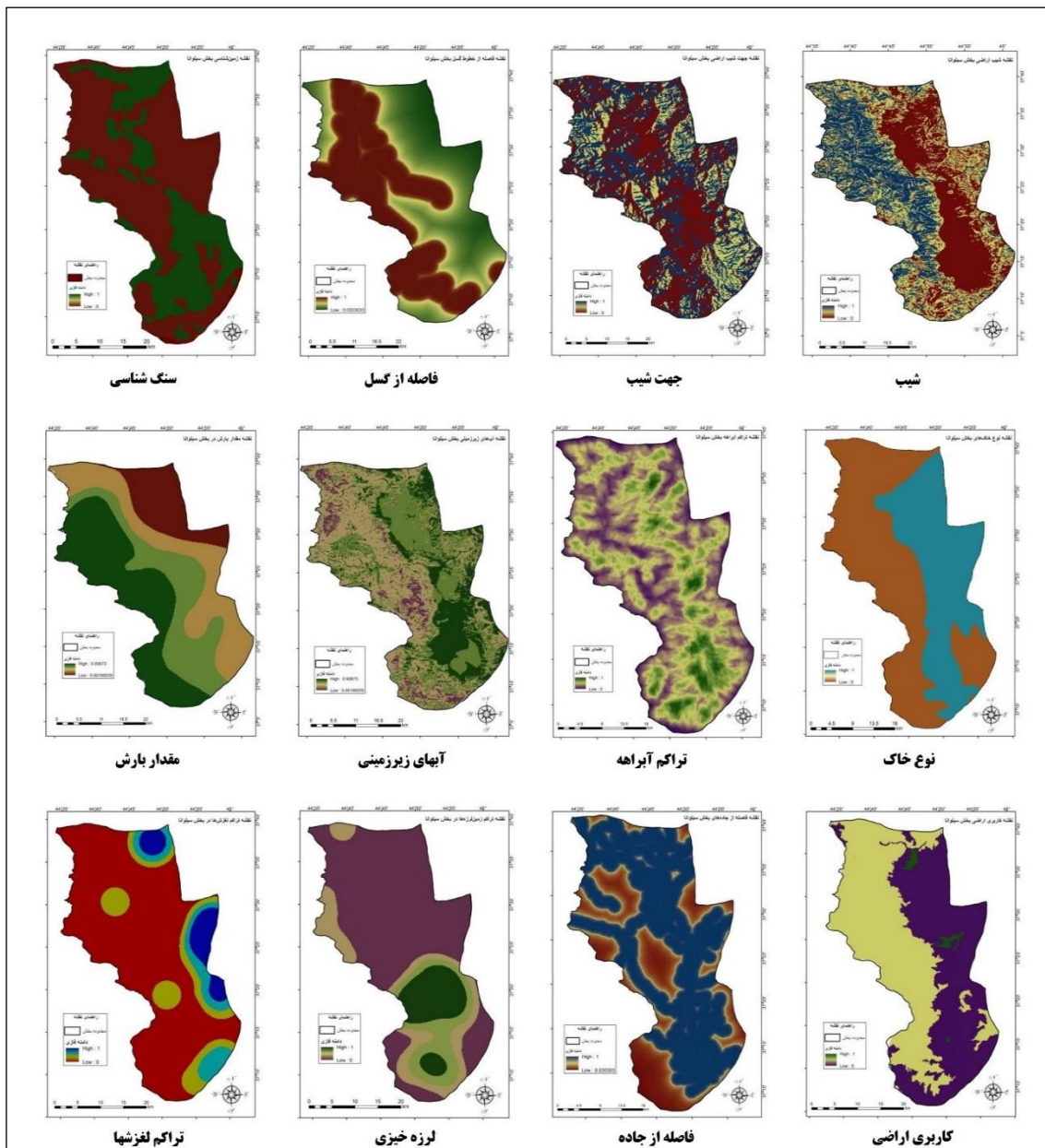
وزن نرمال شده بر اساس مخاطره			وزن نهایی	عناصر
زمین‌لرزو	زمین‌لغزش	سیلاب		
-	۰/۱۶۶	۰/۳۳۳	۰/۲۰۱	شیب
-	۰/۰۳۴	-	۰/۰۳۳	جهت شیب
۰/۵	۰/۰۵۳	-	۰/۱۰۶	فاصله از گسل
۰/۲۹۲	۰/۱۵۴	۰/۰۲۵	۰/۱۱۲	لیتولوژی
-	۰/۰۹۹	۰/۰۴۴	۰/۰۵۵	نوع خاک
-	۰/۰۴۴	۰/۳۳۳	۰/۰۷۸	تراکم رودخانه‌ها
۰/۰۳	-	-	۰/۰۳	آب‌های زیرزمینی
-	۰/۱۶۶	۰/۱۷۱	۰/۱۶۱	بارندگی
۰/۱۱۶	۰/۱۵۴	۰/۰۹۲	۰/۰۹۶	کاربری اراضی
-	۰/۰۲۹	-	۰/۰۱۶	فاصله از جاده‌ها
-	۰/۰۹۵	-	۰/۰۴۷	لغزش‌های قبلی
۰/۰۵۹	-	-	۰/۰۶	لرزو خیزی

✓ استانداردسازی با توابع فازی

پس از تعیین وزن نهایی معیارها، از توابع فازی برای استانداردسازی نقشه‌های مربوطه بر حسب نوع معیارها استفاده شده است. همان‌طور که در جدول ۶ قابل مشاهده است، برای نقشه‌های شیب، جهت شیب، لیتوژی، نوع خاک، تراکم رودخانه‌ها، کاربری اراضی، لرزه‌خیزی و تراکم زمین‌لغزش‌ها با توجه به طبقه‌بندی صورت گرفته برای نقشه‌ها و اختصاص کد (Decode) برای طبقات، تابع Linear مورداستفاده قرار گرفته است و برای نقشه فاصله از گسل و فاصله از جاده‌ها با توجه به ماهیت کاهاشی آن‌ها از تابع Small و برای نقشه آب‌های زیرزمینی و میزان بارندگی با توجه به ماهیت افزایشی آن‌ها از تابع Large استفاده شده است. با تخصیص وزن نهایی عناصر به نقشه‌ها و اعمال توابع فازی، نقشه‌های موردنظر به استاندارد فازی تبدیل شده (شکل ۳) و امکان تلفیق آنها با یکدیگر با استفاده از عملگرهای فازی فراهم می‌شود.

جدول ۶. توابع فازی مورداستفاده برای معیارهای پژوهش

ردیف	معیارها	تابع فازی	ردیف	معیارها	تابع فازی
۱	شیب	Linear	۷	آبهای زیرزمینی	Large
۲	جهت شیب	Linear	۸	میزان بارش	Large
۳	فاصله از گسل	Small	۹	کاربری اراضی	Linear
۴	لیتوژی	Linear	۱۰	فاصله از جاده	Small
۵	نوع خاک	Linear	۱۱	لرزه‌خیزی	Linear
۶	تراکم آبراهه	Linear	۱۲	لغزش‌های قبلی	Linear



شکل ۳. نقشه‌های فازی معیارهای پژوهش

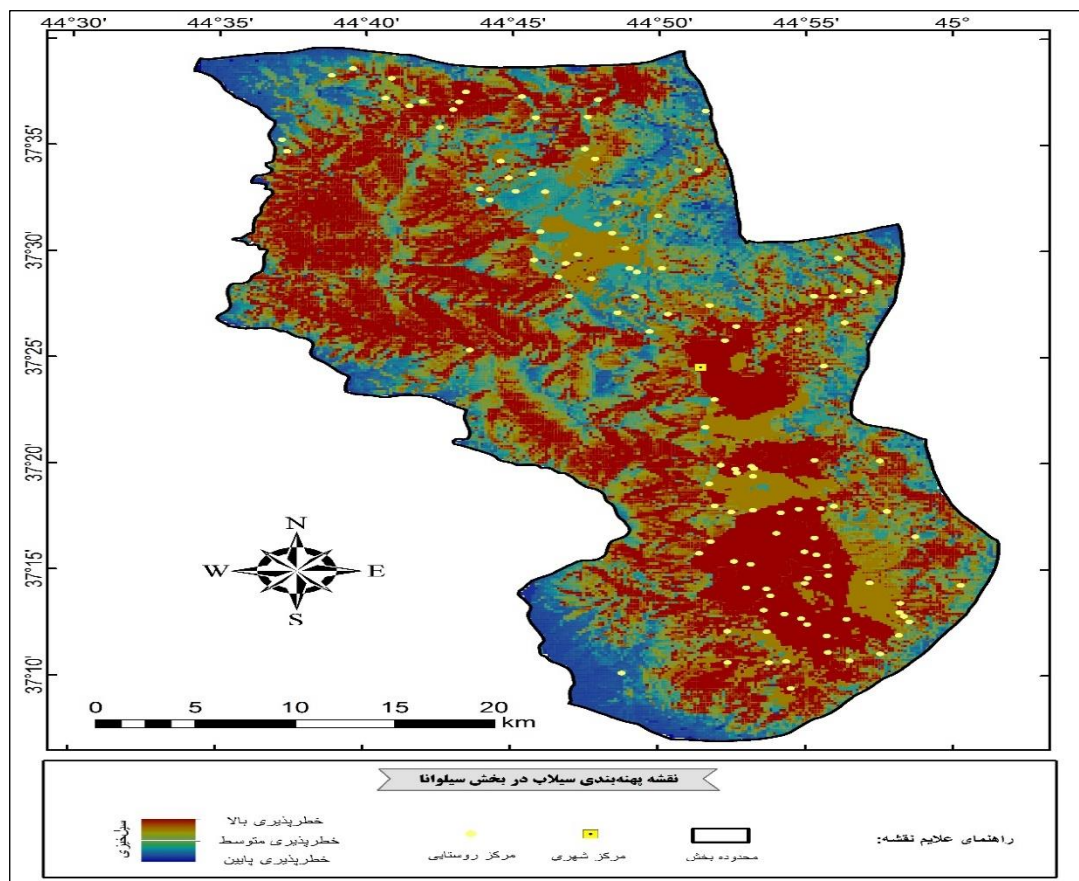
#### ✓ تلفیق نقشه‌ها

اگر تمام پارامترهای مسئله به صورت مجموعه‌های فازی با مقادیر عضویت صحیح تعریف شوند می‌توان برای تلفیق پارامترها از عملگرهای مناسب فازی استفاده نمود. نوع عملگر مورد استفاده نیز بستگی به نحوه تأثیرپذیری پارامترهای مختلف از یکدیگر و یا اثر نهایی عملگر روی مجموعه پارامترها دارد. با توجه به قابلیت بالای عملگر گاما فازی ۰/۹ در تهییه نقشه پهنه‌بندی خطر، در اینجا این عملگر جهت تلفیق نقشه‌های وزن دار استفاده شده است.

## شرح و تفسیر نتایج

### • سیلاب

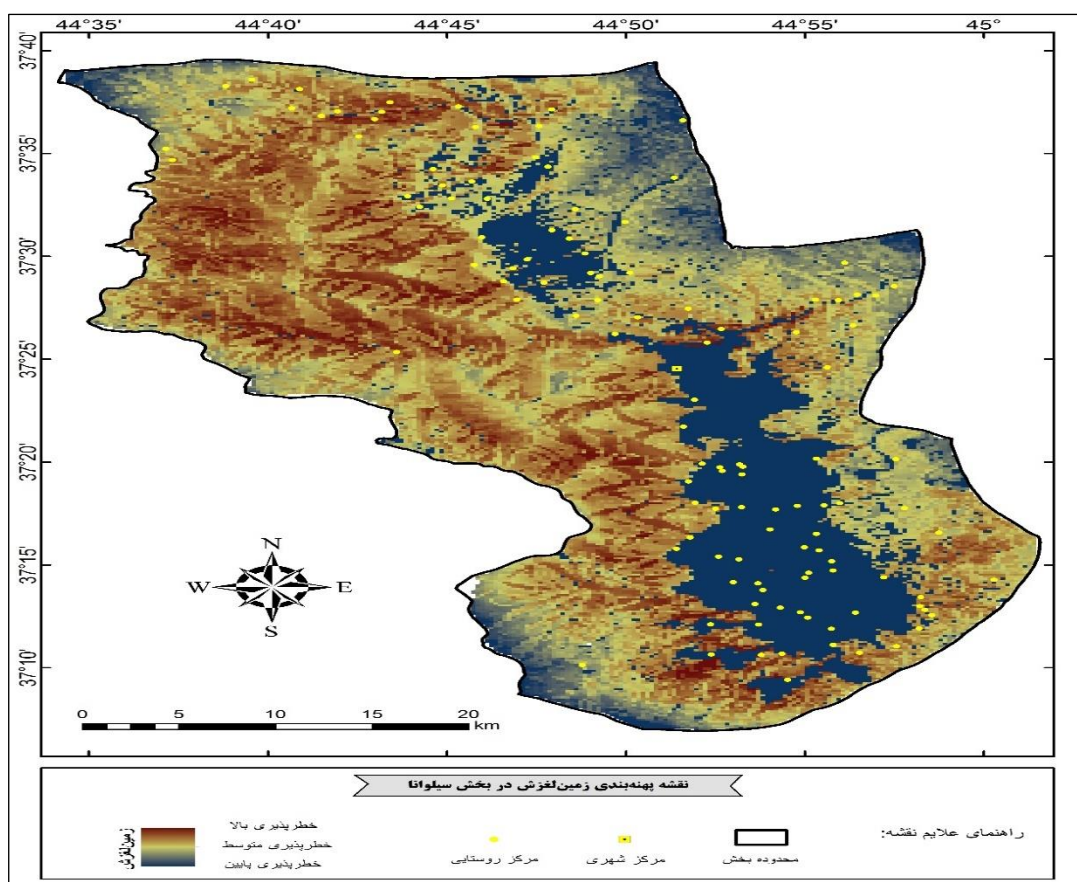
با تلفیق و روی هم گذاری نقشه‌های بارش، تراکم آبراهه، شیب زمین، کاربری اراضی، نوع خاک و لیتوژوئی، نقشه پهنه‌بندی پتانسیل وقوع سیلاب در بخش سیلوانا به دست آمده است (شکل ۴). با بررسی نقشه مربوط به پهنه‌بندی خطر سیلاب بخش سیلوانا، این موضوع به روشی قابل استنباط است که منطقه از سیل خیزی بالایی برخوردار بوده و بخش‌های قابل توجهی در شمال، مرکز و جنوب آن در معرض وقوع سیلاب قرار دارند. نکته دیگری که در این زمینه قابل ذکر است، نقش معیارهای موردنظری در خطر سیلاب است به طوری که با بررسی دقیق‌تر نقشه مذکور می‌توان گفت که عناصری همچون شیب، بارندگی و تراکم شبکه آبراهه را باید به عنوان عوامل اصلی وقوع یا شدت یافتن جریان سیلاب در منطقه قلمداد نمود که خود این امر نیز تابع شرایط خاص فیزیوگرافی منطقه است. می‌توان چنین بیان کرد که وقوع بارندگی‌های سیل آسا در غرب منطقه، نقطه شروع یا عامل اولیه جریان سیلاب است و به دنبال آن شرایط کوهستانی منطقه با شیب‌های تند که موجب ایجاد اختلاف ارتفاع زیاد قسمت‌های غربی و شرقی شده و درنهایت به هم پیوستن شبکه‌ای وسیع از آبراهه‌ها باعث جریان یافتن حجم وسیعی از آب با سرعت زیاد می‌گردد و آنچه که بر مخاطره‌آفرینی این پدیده در منطقه منجر می‌شود فراهم بودن شرایط انسانی یا طبیعی مستعد خطرات سیلاب از قبیل تراکم سکونتگاه‌های روستایی، اراضی کشاورزی، ضعف در ساختارهای ارتباطی و بعضًا جنس زمین یا خاک است و لذا شناسایی مناطق مخاطره‌آمیز جهت پیشگیری از پیامدهای احتمالی مغرب سیلاب گامی مهم در راستای مقابله با مخاطرات محیطی و دستیاری به توسعه پایدار در منطقه موردمطالعه محسوب می‌شود.



شکل ۴. نقشه پهنه‌بندی خطر سیلاب در بخش سیلوانا

### • زمین‌لغزش

تهیه نقشه خطر وقوع زمین‌لغزش ابزاری اساسی برای فعالیت‌های مدیریت بحران در نواحی کوهستانی است. مدیریت ریسک و ارزیابی خطر زمین‌لغزش‌ها با شناسایی جامع و تهیه نقشه آن‌ها آغاز می‌شود و این امر می‌تواند مبنای جهت کسب آگاهی از توزیع مکانی و زمانی آن‌ها محسوب گردد (محمدنیا و فلاح، ۱۳۹۷). جهت تعیین نواحی مستعد از نظر زمین‌لغزش، با استفاده از عملیات همپوشانی فازی و استفاده از عملگر گامای فازی  $0/9$ ، معیارهای مربوط به این پدیده از قبیل بارش، شب، کاربری اراضی، فاصله از گسل، تراکم روستاهای، فاصله از جاده، لیتوژوژی، نوع خاک و لغزش‌های قبلی با یکدیگر ترکیب شده است و نقشه پهنه‌بندی زمین‌لغزش در منطقه موردمطالعه به دست آمده است. همان‌طور که در شکل (۵) قابل مشاهده است، بخش‌های واقع در شمال غربی و غرب منطقه به دلیل وجود ناهمواری‌های متعدد با شب و دریافت بارش‌های زیاد و نیز بافت مستعد دامنه‌ها از پتانسیل بالایی جهت وقوع زمین‌لغزش برخوردار هستند. همچنین قسمت‌های بسیار کوچکی در جنوب و شرق منطقه نیز مستعد خطر زمین‌لغزش می‌باشند.

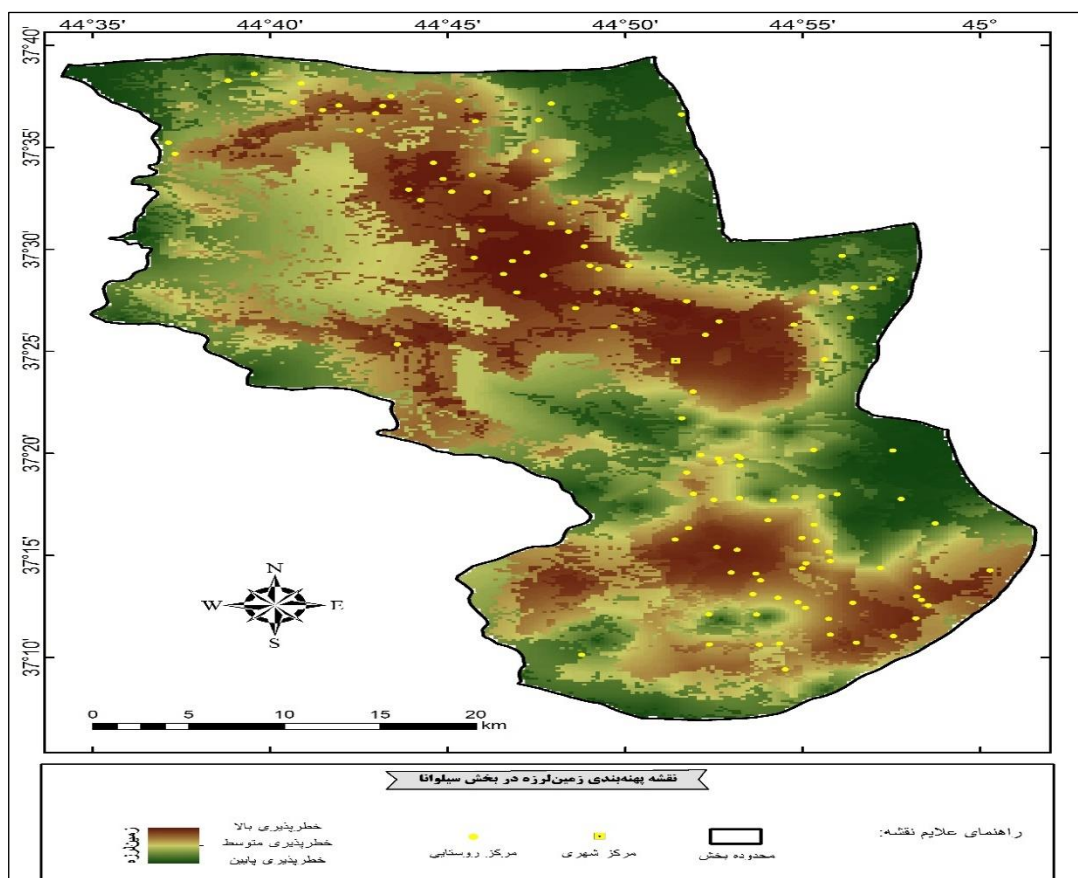


شکل ۵. نقشه پهنه‌بندی خطر زمین‌لغزش در بخش سیلوانا

### • زمین‌لرزه

نقشه پهنه‌بندی خطر زمین‌لرزه تغییرات مواردی مانند میزان احتمال وقوع، خطر وقوع و اثرات زلزله را نسبت به نقاط مختلف یک شهر، منطقه یا کشور نشان می‌دهد و از این نقشه‌ها برای برنامه‌های عمرانی، مقاوم‌سازی، کاربری زمین، تعیین نرخ بیمه و غیره استفاده می‌شود (امیدوار، ۱۳۹۲). با ترکیب معیارهای زمین‌لرزه شامل فاصله از گسل، لیتوژوژی،

کانون‌های زمین‌لرزه و منابع آب‌های زیرزمینی با عملگر گامای فازی ۰/۹، نقشه پهنه‌بندی خطر زمین‌لرزه حاصل شده است (شکل ۶). نقاط قرمزرنگ در نقشه بیانگر پتانسیل بالا برای زمین‌لرزه است و در مقابل، نقاط سبزرنگ نشان‌دهنده پتانسیل پایین برای خطر زمین‌لرزه است. همان‌طور که در نقشه مذکور مشاهده می‌شود، قسمت‌های شمالی و مرکزی به علاوه قسمت‌های جنوبی منطقه در مناطق پر خطر قرار گرفته‌اند. بر همین اساس باید گفت که پهنه‌های پر خطر از نظر زمین‌لرزه به طور عمده در مجاورت گسل‌ها و مناطقی که سطح آب‌های زیرزمینی در آن‌ها بالا است واقع شده‌اند. همچنین پهنه‌های کم خطر در منطقه عمدهاً در قسمت‌های شرقی قرار دارند.

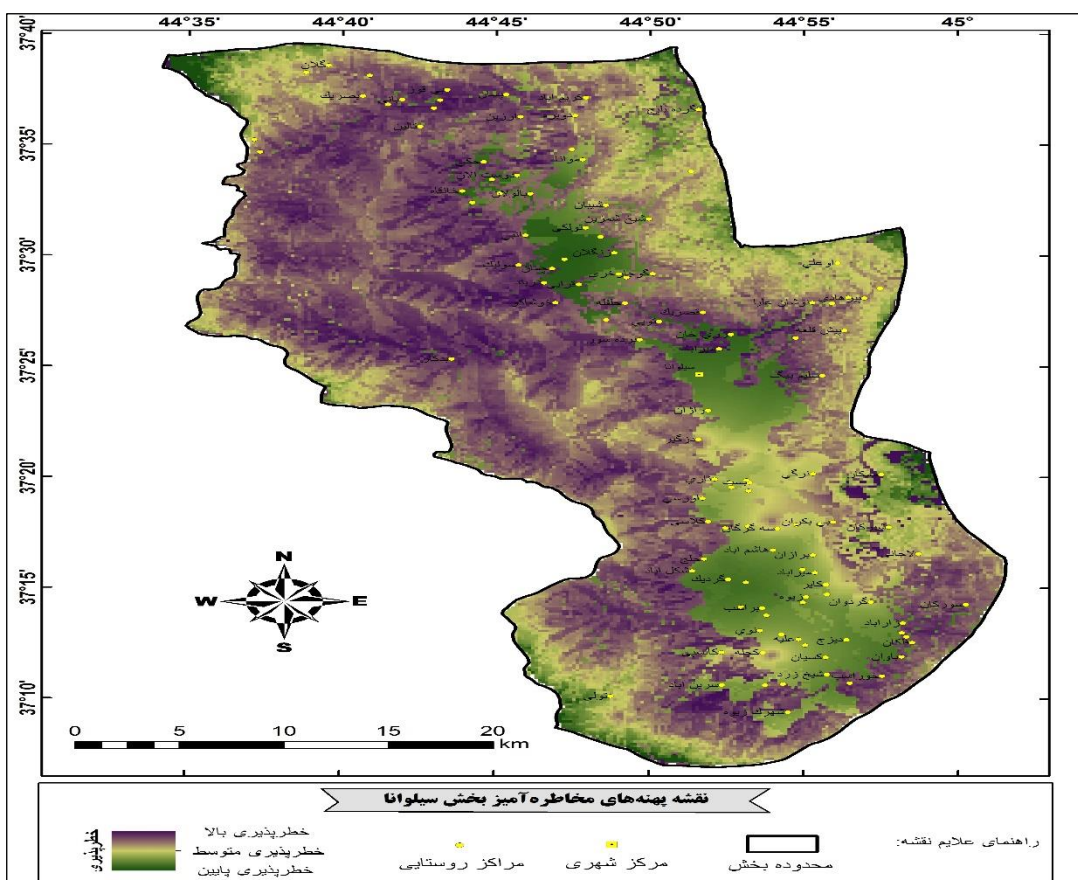


شکل ۶. نقشه پهنه‌بندی خطر زمین‌لرزه در بخش سیلوانا

#### • خطرپذیری محیطی

در نهایت با تلفیق نقشه‌های پهنه‌بندی مربوط به سه مخاطره سیلاب، زمین‌لغزش و زمین‌لرزه با استفاده از عملگر گامای فازی ۰/۹، نقشه نهایی پهنه‌بندی مخاطرات محیطی بخش سیلوانا به دست آمده است (شکل ۷). وضعیت خطرپذیری منطقه در نقشه مذکور قابل مشاهده است و بر این اساس می‌توان گفت که قسمت‌های عمده‌ای در شمال غرب، غرب و جنوب منطقه در پهنه‌های بسیار مخاطره‌آمیز واقع شده‌اند و بیشترین مخاطرات محیطی را دربرمی‌گیرند. در مقابل، بخش‌های مرکزی، شرقی و بخش‌های کوچکی در شمال غرب و جنوب غرب منطقه در پهنه‌های کم خطر قرار دارند. بررسی وضعیت مخاطره‌آمیزی در منطقه حاکی از این است که قسمت‌های عمده‌ای از مساحت منطقه دارای خطرپذیری متوسط تا زیاد هستند و از نظر خطرپذیری محیطی، ۵۹ درصد از منطقه در پهنه‌های پر خطر، ۲۰ درصد در پهنه‌های

خطر متوسط و ۲۱ درصد در پهنه‌های کم خطر قرار دارد و این امر به معنی لزوم توجه جدی به مراکز جمعیتی منطقه و تجدیدنظر در ساخت‌وسازها و برنامه‌های توسعه منطقه می‌باشد.



شکل ۷. نقشه پهنه‌بندی مخاطرات محیطی بخش سیلوان

تعداد جمعیت در معرض خطر در جدول (۷) قابل مشاهده است. با توجه به اطلاعات موجود در جدول مذکور، ۳۷۳۹۴ نفر از جمعیت ساکن در بخش سیلوان را که برابر با ۶۱ درصد از مجموع جمعیت آن است در مناطقی سکونت دارند که حداقل یک مخاطره آن‌ها را تهدید می‌کند. همچنین ۳۸۱۷ نفر که ۷ درصد از کل جمعیت منطقه است در معرض دو مخاطره و ۴۹۱۴ نفر یعنی ۸ درصد از مجموع جمعیت در معرض سه مخاطره قرار گرفته‌اند. ۱۴ روستا که شامل روستاهای بیقوز، شهر ویران، کورته کویل، مارمیشو، دوستان، تولکی، زری خان، قصریک، حلچ، سورکان، باوان، فلکان، تازه کند و خوراسب می‌شود پهنه‌های بسیار پر خطر استقرار یافته و هر سه مخاطره محیطی مورد مطالعه یعنی سیلاب، زمین‌لغزش و زمین‌لرزه آن‌ها را تهدید می‌کند. روستاهای سوربانی، پسان، بزرین، شیبان، نوشان علیا، پیرهادی، سودین آباد، لاجانی، گله بهی، اشکی، بانی، بصریک، میرآباد، دولاپسان، کانی دستار، سوله دوکل و چریک آباد نیز در معرض دو مخاطره محیطی قرار دارند. ۵۸ روستایی واقع در این منطقه نیز از طرف یک مخاطره تهدید می‌شوند. همچنین شهر سیلوان به عنوان تنها مرکز شهری واقع در این بخش نیز با جمعیت ۱۶۱۴ نفر از سکونتگاه‌هایی در این منطقه است که در معرض مخاطره زمین‌لرزه واقع شده است اما با توجه به اینکه این شهر دارای خطر پذیری متوسطی از نظر سیلاب است، لذا باید گفت که وقوع سیلاب نیز در آن دور از انتظار نیست. مطابق بررسی‌ها، تنها ۲۱ درصد از سطح منطقه جزو پهنه‌های کم خطر

محسوب می‌شود اما این بدان معنی نیست که مخاطرات طبیعی در این مناطق هرگز به وقوع نخواهد پیوست. به طور کلی بر اساس نتایج حاصل از بررسی‌های صورت‌گرفته، می‌توان به این نکته اذعان نمود که بخش سیلوانا از استعداد بالایی برای وقوع مخاطرات محیطی دارا می‌باشد.

جدول ۷. وضعیت خطرپذیری محیطی جمعیتی بخش سیلوانا

مخاطرات محیطی	جمعیت در معرض خطر	سکونتگاه‌های در معرض خطر زیاد
یک مخاطره	۳۷۳۹۴	ازین، کورانه، بالولان، خانقه، حکی، موانا، انبی، شیخ شمزین، اودی، تی باتان، حلفله، خری، بدکار، گوخار، چمان، سولیک، تولی، زنگلان، خوشکوه، دریند، قرابی، میرآباد، برده‌سور، تویی، کای، رازان، کچل آباد، کلاسی، گردیک، شکل آباد، منصورآباد، هاشم آباد، سوسن آباد، براسب، کانی طایر، ملاباسک، زیوه، توپوز آباد، گلستانه، دیزج، علیه، ژرازی، نوی، ژار آباد، لورزینی سرین آباد، شیخ زرد، کسیان، شهرک زیوه، دوبره، طالبین، داره سنگی، احمد رسول، پیشکله، ممکان، گردوان، نوشان سفلی، سلیم بیگ، سیلوانا
دو مخاطره	۳۸۱۷	سوربانی، پسان، بربزین، شبیان، نوشان علیا، پیرهادی، سودین آباد، لاجانی، گله بهی، اشکی، بانی، بصریک، میرآباد، دولاضان، کانی دستار، سوله دوکل، چریک آباد
سه مخاطره	۴۹۱۴	شهر ویران، کورته کویل، بیقوز، مارمیشو، دوستلان، تولکی، زری خان، قرصیک، حاج، سورکان، باوان، فلکان، تازه‌کند، خوراسب

### نتیجه‌گیری

امروزه ارزیابی و شناسایی مخاطرات بالقوه محیطی مناطق مختلف به یکی از رویکردهای مهم در امر مدیریت مخاطرات محیطی بدل گشته است و به یقین می‌توان گفت که هزینه‌ها و محدودیت‌های مربوط به شناسایی مخاطرات بسیار کمتر از چالش‌های پس از وقوع بلایا همچون دسترسی به محل حادثه، امدادرسانی، احیا، بازسازی و غیره است و بنابراین شناسایی خطرات و ارزیابی میزان خطر احتمالی برای جوامع انسانی و محیط طبیعی را باید مهم‌ترین گام در مدیریت بحران‌ها قلمداد نمود. از طرفی دیگر، برخی مناطق به دلیل شرایط جغرافیایی خاص خود از قبیل توپوگرافی پیچیده، موقعیت حاشیه‌ای، شرایط اقلیمی سخت و از همه مهم‌تر تراکم بالایی از جمعیت روستایی که طبیعتاً نسبت به محیط‌های شهری از امکانات کمتری برخوردار بوده و قابلیت کنترل مخاطرات محیطی در آن‌ها پایین است، بیشتر در معرض آسیب‌های احتمالی ناشی از وقوع خطرات احتمالی قرار دارند و لذا لزوم یک برنامه‌ریزی جامع و کاربرد فنون همه‌جانبه‌نگر برای این منظور بهشت احساس می‌شود. سیستم‌های اطلاعات جغرافیایی یا همان GIS یکی از نمودهای بارز سیستم‌های جامع مدیریت محیطی است و کاربردهای روزافزون آن در مبحث مخاطرات محیطی نیز ناشی از نگرش یکپارچه آن و تلفیق عناصر مختلف با یکدیگر است. در این میان روش‌های تحلیل چندمعیاره از آن جهت که امکان تعیین سهم یا اثر عناصر موردمطالعه را به شکل کمی و کیفی دارا می‌باشند و بر دقت و اعتبار نتایج نیز می‌افزایند از دیگر گزینه‌های موجود برای انجام تحلیل‌های مکان‌محور هستند.

نتایج بررسی‌های پژوهش حاضر حاکی از این است که مناطق عمده‌ای از بخش سیلوانا دارای خطرپذیری متوسط تا زیاد بوده و ۵۹ درصد از مجموع وسعت منطقه در پهنه‌های پر خطر سکونت دارند که این مناطق مخاطره‌امیز عمدتاً در شمال غرب، غرب و جنوب منطقه واقع شده‌اند و روستاهای و جمعیت ساکن در آنها در این مناطق در معرض حجم بالایی

از خطرات محیطی واقع شده‌اند. در همین ارتباط با توجه به قابلیت نقشه‌های پهنه‌بندی خطر در شناسایی مناطق مستعد و ارزیابی نوع خطرات بالقوه، این تحلیل‌ها را باید یکی از راهکارهای مناسب و بسیار مفید در مراحل مختلف مدیریت بحران به شمار آورد که می‌تواند راهگشای بسیاری از مسائل در امر پیشگیری و مقابله با حوادث طبیعی باشد.

### منابع

- اسمیت، کیت. ۱۳۸۲. *مخاطرات محیطی*. ترجمه ابراهیم مقیمی و شاپور گودرزی نژاد. چاپ اول. انتشارات سازمان مطالعه و تدوین کتب علوم انسانی دانشگاه‌ها (سمت). تهران.
- امیدوار، کمال. ۱۳۹۲. *مخاطرات طبیعی*. چاپ دوم. انتشارات دانشگاه یزد. یزد.
- ایمانی، بهرام و محسن پورخسروانی. ۱۳۹۶. *تحلیل فضایی پهنه‌های مخاطره‌آمیز شهرستان اردبیل*. جغرافیا و برنامه‌ریزی محیطی. ۲: ۱۰۹-۱۲۸.
- آزاده، سیدرضا و مسعود تقوايی. ۱۳۹۶. *تحلیل فضایی آسیب‌پذیری سکونتگاه‌های شهری و روستایی در برابر مخاطره زلزله مطالعه موردنی: استان گیلان*. *تحلیل فضایی مخاطرات محیطی*. ۳: ۸۴-۷۱.
- پریتانو، جان‌وی؛ رابت ان گولدن و فردا پترسون. ۱۳۹۳. *حقایقی درباره مخاطرات محیطی*. ترجمه علی محمد خورشیددوست. چاپ اول. انتشارات دانشگاه تبریز. تبریز.
- رکن‌الدین افتخاری، عبدالرضا؛ محمود قدیری؛ اکبر پرهیزکار و سیاوش شایان. ۱۳۸۸. *تحلیلی بر دیدگاه‌های نظری آسیب‌پذیری جامعه نسبت به مخاطرات طبیعی*. مدرس علوم انسانی. ۱: ۶۲-۲۹.
- زارع، مهدی و فرناز کامران‌زاد. ۱۳۹۳. پراکندگی لردهیزی در ایران. *تحلیل فضایی مخاطرات محیطی*. ۴: ۵۸-۳۹.
- سدیدی، جواد؛ احسان بابایی و هانی رضاییان. ۱۳۹۵. طراحی وب‌سرویس مدیریت امدادرسانی پس از وقوع سیل با کمک اطلاعات جغرافیایی داوطلبانه بر مبنای تکنولوژی متن باز. *تحلیل فضایی مخاطرات محیطی*. ۴: ۷۸-۱۰۰.
- شریفی کیا، محمد؛ منیره معتمدی نیا و سیاوش شایان. ۱۳۸۹. *تحلیل فضایی مخاطرات ژئومورفوژئیکی ناشی از توسعه فیزیکی شهر ماهنشان*. *تحقیقات کاربردی علوم جغرافیایی*. ۱۶: ۱۰۵-۱۲۶.
- عسگری، علی؛ پدارم رخشانی و اکبر اسماعیلی. ۱۳۹۱. *کاربرد GIS در مدیریت بحران*. چاپ اول. انتشارات سازمان شهرداری‌ها و دهیاری‌های کشور. تهران.
- علوی، سیدعلی؛ یاسر رمضان نژاد؛ احصاله فتاحی و ابراهیم خلیفه. ۱۳۹۴. پهنه‌بندی فضایی سکونتگاه‌های روستایی در معرض مخاطرات محیطی با استفاده از تکنیک تصمیم‌گیری چندمعیاره ویکور (مطالعه موردی: شهرستان تالش)، برنامه‌ریزی منطقه‌ای. ۲۰: ۱۳۶-۱۲۵.
- عنابستانی، علی اکبر؛ مهدی جوانشیری؛ حمیده محمودی؛ محمدرضا دربان آستانه. ۱۳۹۷. *تحلیل فضایی سطح تاب‌آوری سکونتگاه‌های روستایی در برابر مخاطرات محیطی (مورد مطالعه: بخش مرکزی شهرستان فاروج)*. *تحلیل فضایی مخاطرات محیطی*. ۱: ۳۸-۱۷.
- غلامی، صغیری. ۱۳۹۰. *ارزیابی و پهنه‌بندی مخاطرات ژئومورفوژئیکی (با تأکید بر سیلاب، زمین‌لغزش و زلزله)*. مطالعه موردی شهرستان شیروان. پایان‌نامه کارشناسی ارشد. دانشگاه تربیت معلم تهران. تهران.
- فرجی سبکبار، حسنعلی بدری؛ رضا عباسی ورکی و الهام عباسی ورکی. ۱۳۹۳. *تحلیل فضایی اثرات مخاطرات طبیعی در نواحی روستایی با استفاده از مدل مؤلفه‌های اصلی وزن جغرافیایی* (مطالعه موردی: جوشه الموت قزوین). *جغرافیا و مخاطرات محیطی*. ۱۰: ۹۱-۱۱۰.
- قبیری، ابوالفضل؛ احسان پاشانژاد سیلاب. ۱۳۹۷. *تحلیل فضایی آسیب‌پذیری محیطی در سطح منطقه‌ای با رویکرد برنامه‌ریزی محیطی*: مورد پژوهی، منطقه کرانه شرقی دریاچه ارومیه. *تحلیل فضایی مخاطرات محیطی*. ۳: ۴۰-۲۳.

کاویانی راد، مراد. ۱۳۸۹. تحلیل فضایی مخاطرات محیطی و بحران‌های بوم‌شناسی ایران. *مطالعات راهبردی*. ۵۸-۳۳: ۵۸-۵۲.

محمدنیا، ملیحه و غلامعباس فلاح قاله‌ری. ۱۳۹۷. شبیه‌سازی احتمال وقوع زمین‌لغزش با استفاده از منطق فازی و فرایند تحلیل سلسله‌مراتبی (مورد مطالعه: حوضه آبخیز پیوه ژن – ارتفاعات جنوبی بینالود). *تحقیقات کاربردی علوم جغرافیایی*. ۴۸: ۱۱۵-۱۳۰.

یمانی، مجتبی و فاطمه مرادی پور. ۱۳۹۲. رتبه‌بندی پتانسیل سه مخاطره زلزله، سیل و لغزش در غرب کشور با استفاده از آنالیز تاکسونومی. *ژئومورفولوژی کاربردی ایران*. ۱: ۱۵-۲۶.

Gallina, V.; S. Torresan, A. Critto, A. Spreotto, T. Glade, and A. Marcomini. ۲۰۱۶. A Review of Multi-Risk Methodologies for Natural Hazards: Consequences and Challenges for a Climate Change Impact Assessment. *Journal of environmental management*, ۱۶۸: ۱۲۳-۱۳۲. <https://doi.org/10.1016/j.jenvman.2015.11.011>.

Hsien, L.; and C. Sheng. ۲۰۱۱. The Use of Spatial Analysis Techniques in Mapping Potential Natural Hazard Areas: A Case Study of Taiwan. *Procedia Environmental Sciences*, ۱۰: ۱۰۹۲-۱۰۹۷. <https://doi.org/10.1016/j.proenv.2011.09.174>.

Minucser, Meszaros. ۲۰۱۳. Spatial analysis of geohazard on the Fruška Gora Mountain (*Doctoral dissertation, szte*).

Nugraha, A.; M. Awaluddin, and B. Sasmito. ۲۰۱۸. Modelling Multi Hazard Mapping in Semarang City Using GIS-Fuzzy Method. *IOP Conference Series: Earth and Environmental Science*, 123: 1. IOP Publishing.

Peng, SH.; MJ. Shieh, and SY. Fan. ۲۰۱۲. Potential Hazard Map for Disaster Prevention Using GIS-Based Linear Combination Approach and Analytic Hierarchy Method, *Journal of Geographic Information System*, 4: ۴۰۳-۴۱۱. <http://ir.lib.ctu.edu.tw/handle/310909700/6285>.

Saaty, T. ۲۰۰۸. Decision making with the analytic hierarchy process. *International Journal of Services Sciences*, 1: ۸۳-۹۸.

Tate, E.; S. Cutter, and M. Berry. ۲۰۱۰. Integrated Multihazard Mapping, *Environment and Planning B: Planning and Design*, 37: ۶۴۶-۶۶۳. <https://doi.org/10.1068/b35157>.

Udoeh, J.C. ۲۰۱۰. Multi-Hazard vulnerability mapping: An example of Akwa Ibom state, Nigeria, *European Scientific Journal, ESJ*, 11: ۲۹۳ - ۳۰۰. ISSN: ۱۸۵۷ - ۷۸۸۱.

United States Geological Survey (USGS): Earthquake Hazards Program: <<https://earthquake.usgs.gov/earthquake/search/>>.